

A.

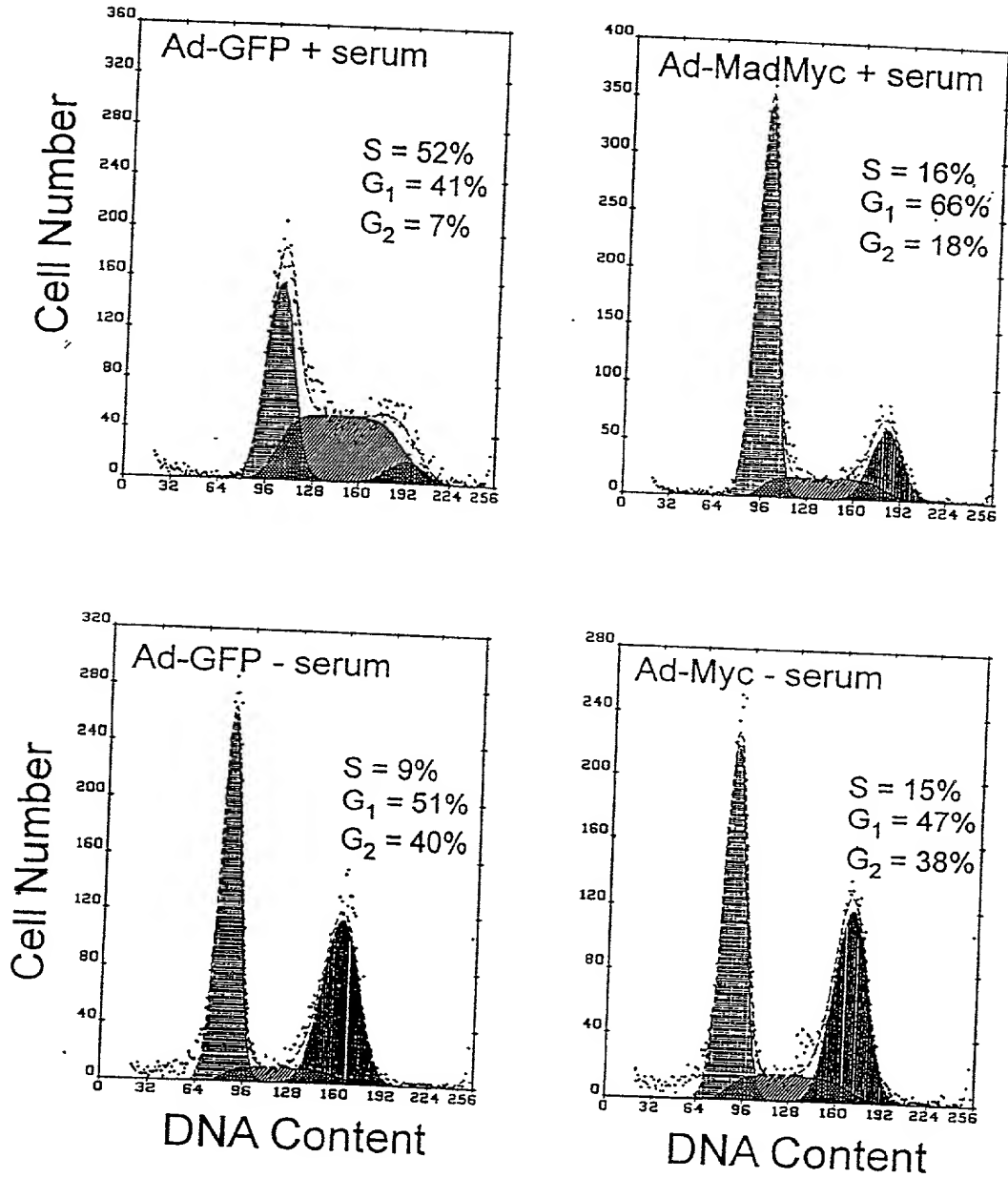
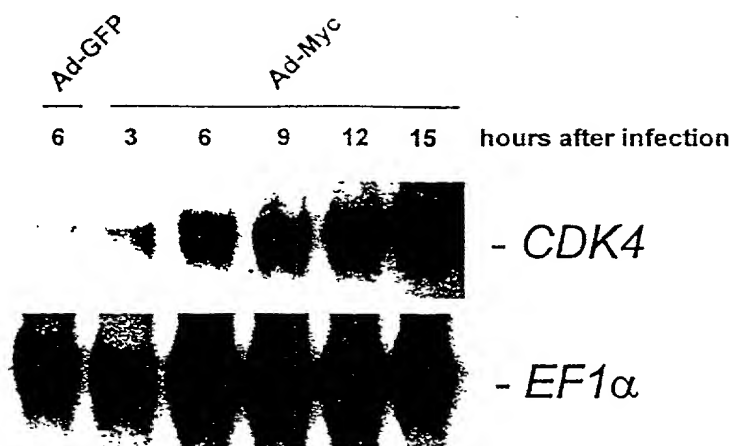
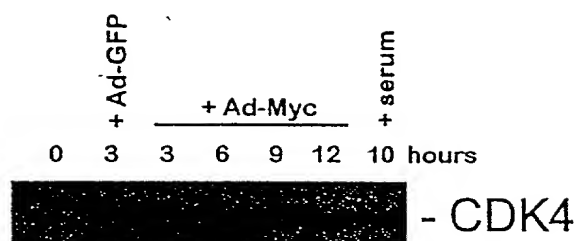


Fig. 1A
Hermeking *et al.*

B.



C.



D.

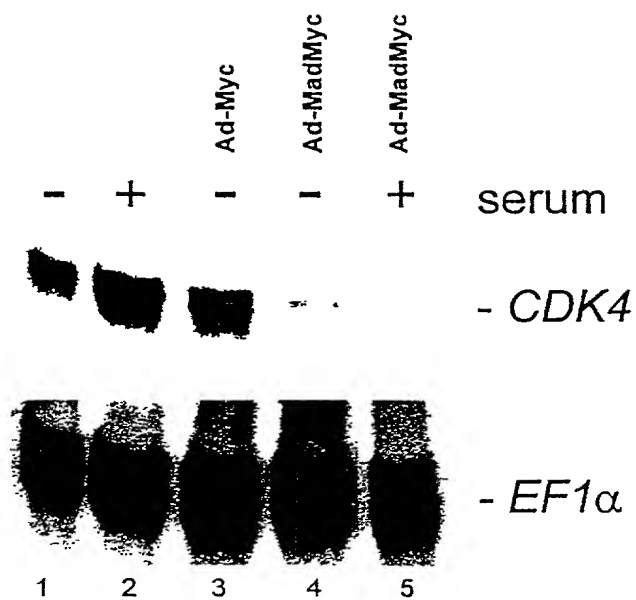


Fig. 1B-D
Hermeking *et al.*



Mouse
Human

GTGGAGAGCGAAATCTTACAGCAACCAATTCTGSCACAGGATTTCCCTACTAACACCTCGACCTCTCCGCC
GTTGAGCCGAAAGTACAGCATACCTCTGTTACCCCAACTCTCCACGCC

Mouse
Human

CGG CGG CCTTCAGCCCAAGATGAGACATGGTGTGGCC GGTGSCCAGACACGECCTATGCTCCACCCCTCTCGCCGCCACA CA CCCCCTCGCC
CGGCCGGTAGTGAGACAAATCCTTTGCGCCGGAGTTGGCTGTGGGTGGCCCTAGGTGGCCAGGACAGGCTCGGGTCCACCCCTCTGTCCTGACAGCTCCCGCTT GC

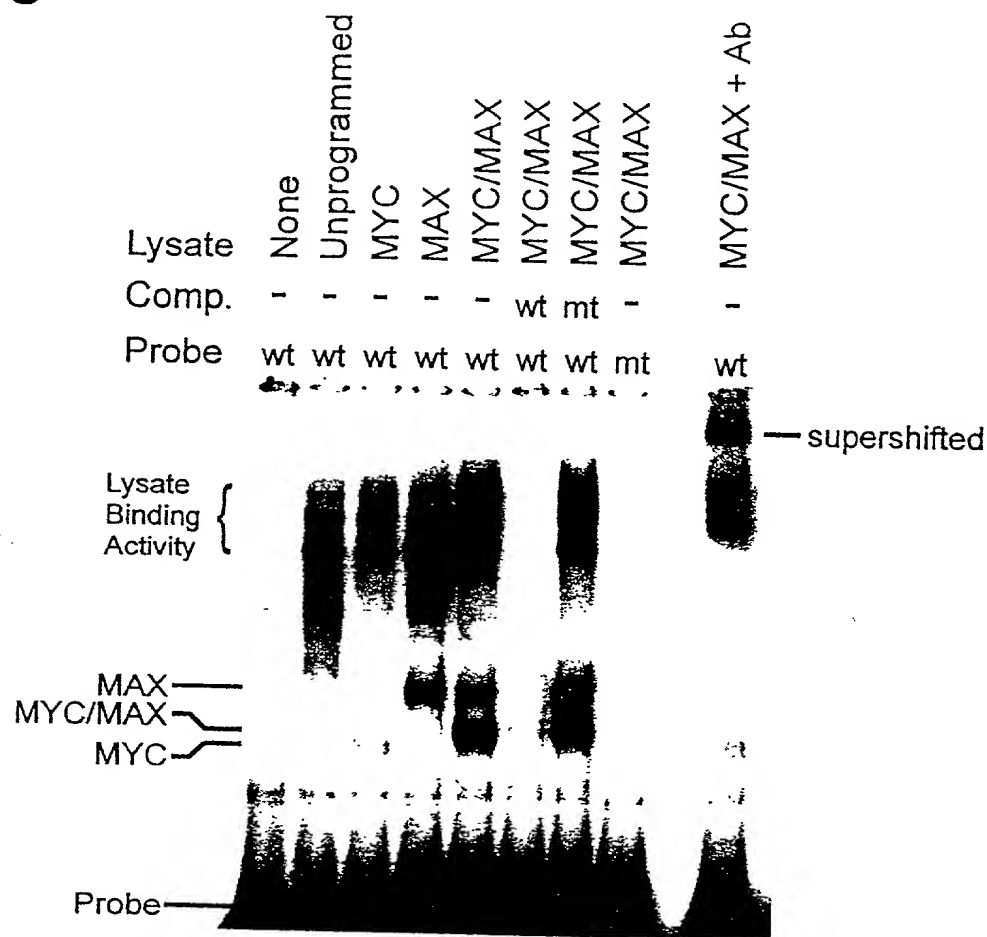
Mouse
Human

ACTCAGGGT ATGCGACGCGAGTATGCTGCGCCACAGAGGTATCCACACGCTCTGCTTC CAGCGCAAATCACAAGGGTCTCTGGATAGACACGCTCACTGCGCGCTCA GCC
ACGGCGGGTGTGCGACGCGAGTATGCTGCGCCGCC GGGTAGCCACACGCTCTGCTTCCTCAGAGCCAAATCTCAAGCGGTCTCTCTGATAGCAACAGATACCTGCTGTCACATCGCCCT

Mouse
Human

CGGCCCCCTTCCCCACCAACAC CCGCCCTCTCGGCCCTCTCTCTGCGAGAGCA GCTCTGTGCGGCC CTACGGGCAAGGGTGCGCTATGCTCCAGAACGCTGGCGCC GCGC
ACACTCTCTCGGCCCTCTCTCTGCGAGAGCA

Fig. 2A & B
Hermeking et al

[illegible]

D

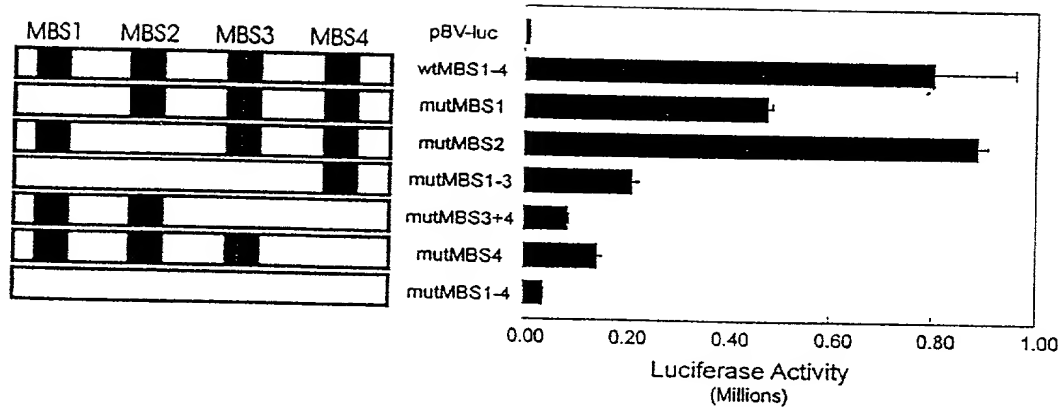


Fig. 2C & D
Hermeking *et al.*

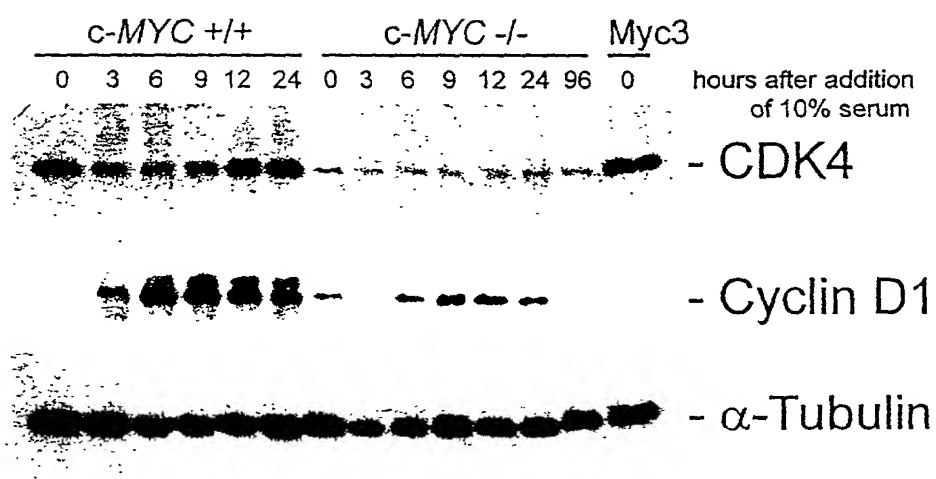
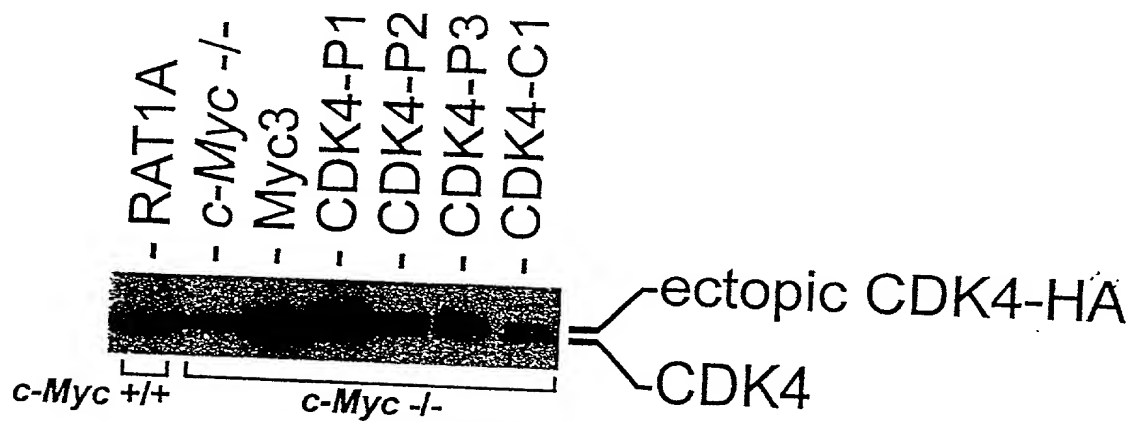


Fig. 3
Hermeking *et al.*

A



B

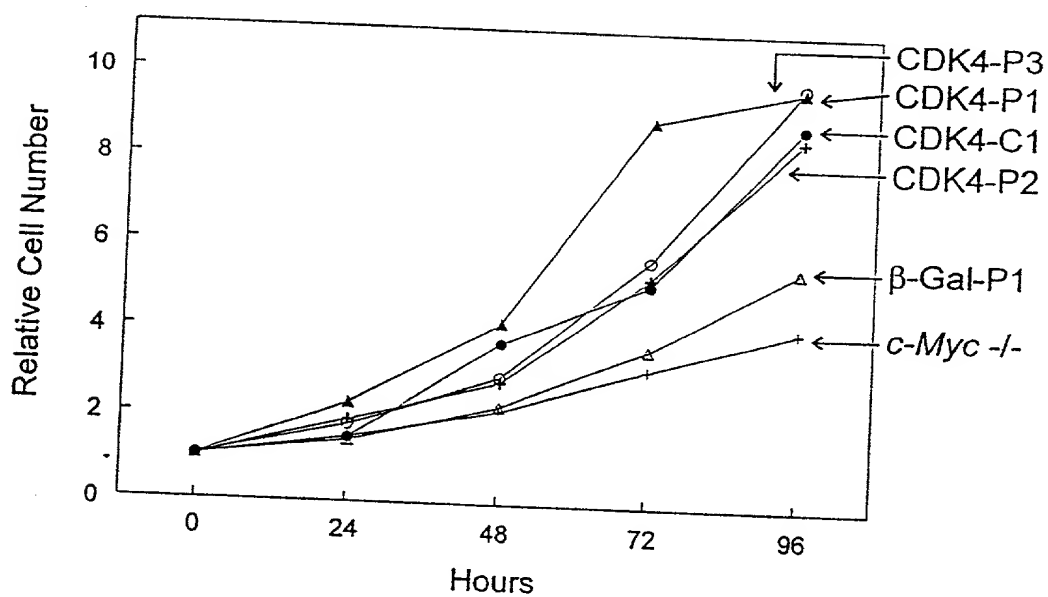


Fig. 4
Hermeking *et al.*

N1 T1 N2 T2 N3 T3

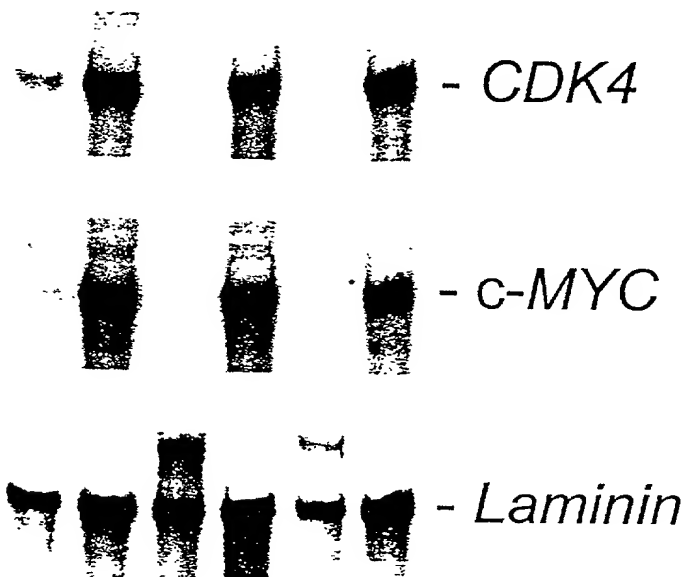


Fig. 5
Hermeking *et al.*